

# Молекулярные структуры димеров диамантила и оксадиамантила:

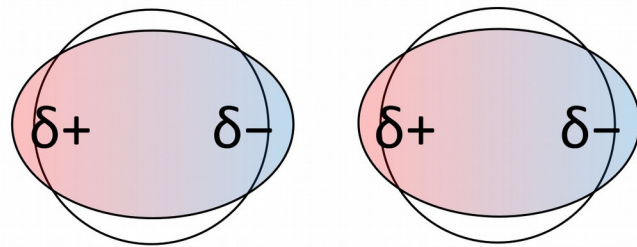
экспериментальное и теоретическое  
исследование

Ю. В. Вишневский

Онлайн-симпозиум по вычислительной химии памяти А. А. Грановского  
13-14 апреля 2020

# Дисперсионное взаимодействие

# Пример 1

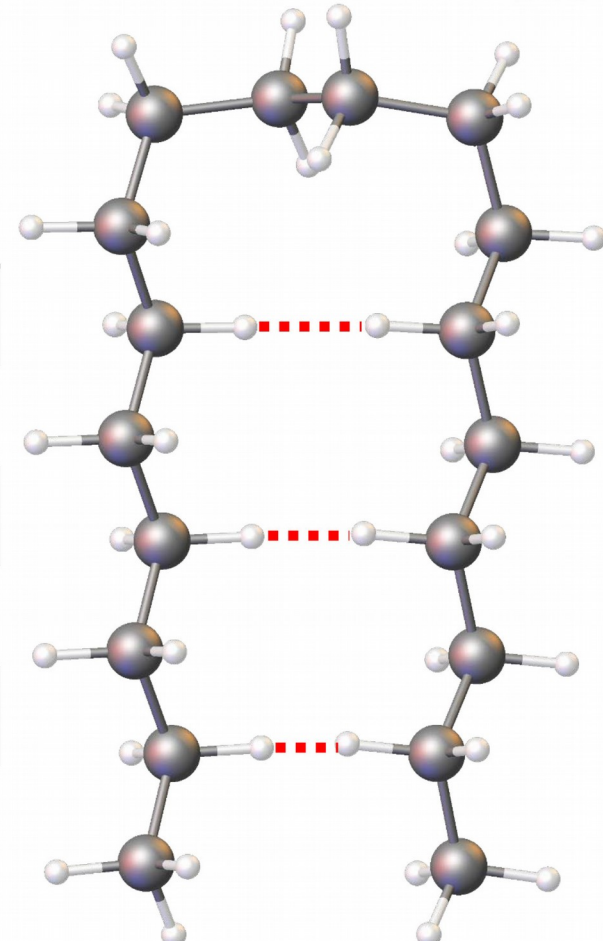


$$E < 10 \text{ kJ mol}^{-1}$$

hydrogen bonds

$$E \approx 40 \text{ kJ mol}^{-1}$$

	boiling point / K <sup>[1]</sup>
He	4
Ne	27
Ar	87
Kr	120
Xe	165

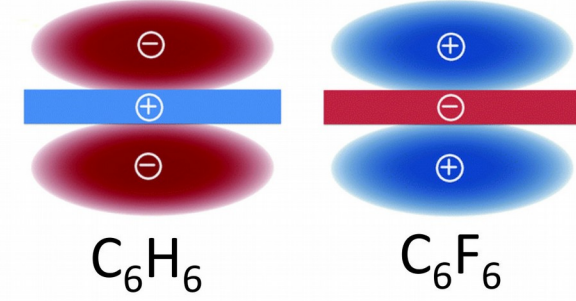
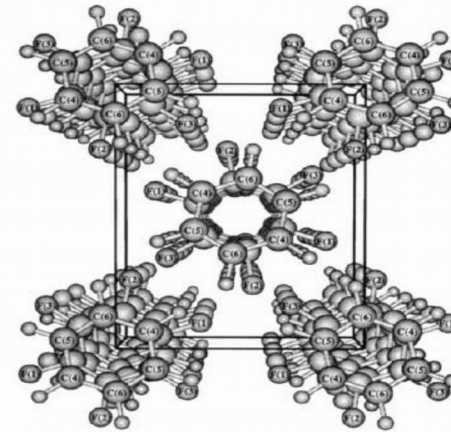


[1] GESTIS Stoffdatenbank, <http://gestis.itrust.de>.

[2] N. O. B. Lütschwager, T. N. Wassermann, R. A. Mata, M. A. Suhm, *Angew. Chem. Int. Ed.* **2013**, 52, 463 – 466.

# Пример 2

	m.p. / °C <sup>[6]</sup>
C <sub>6</sub> H <sub>6</sub>	6
C <sub>6</sub> F <sub>6</sub>	4
C <sub>6</sub> H <sub>6</sub> :C <sub>6</sub> F <sub>6</sub> (1:1)	24



**π-stacking in general<sup>[9]</sup>**

magnitude: dispersion  
substituent effects: electrostatic

**C<sub>6</sub>H<sub>6</sub>-C<sub>6</sub>F<sub>6</sub> dimer<sup>[10]</sup>**

major source of attraction: dispersion

[6] C. R. Patrick, G. S. Prosser, *Nature* **1960**, *187*, 1021.

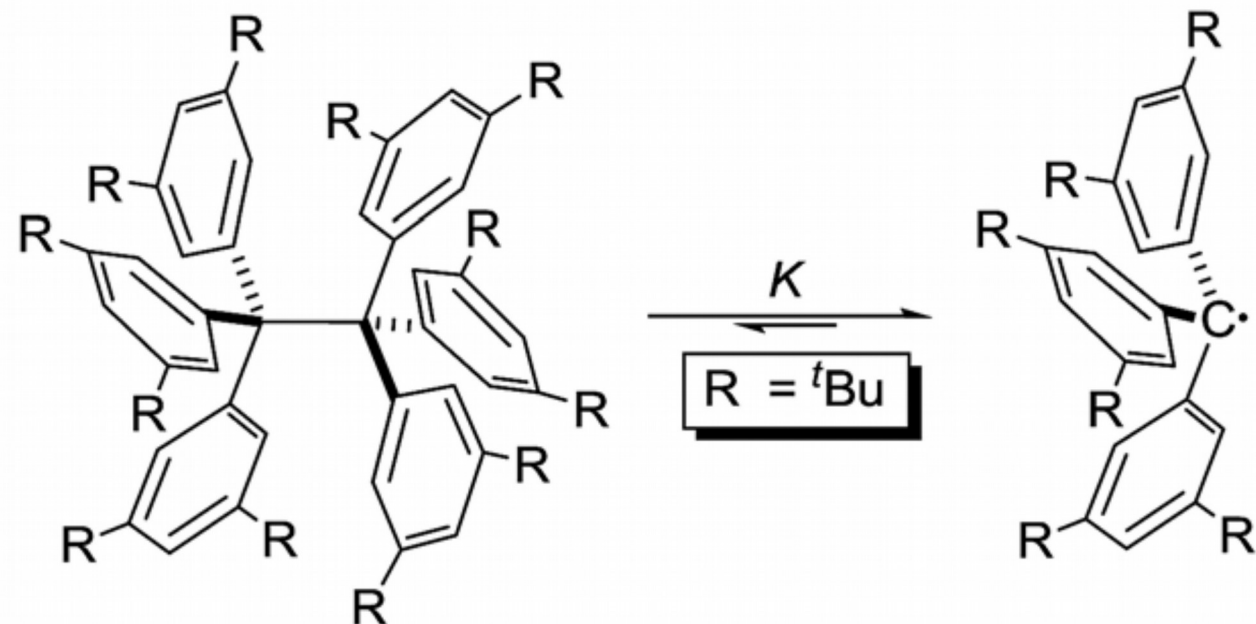
[7] J. H. Williams, J. K. Cockcroft, A. N. Fitch, *Angew. Chem. Int. Ed. Engl.* **1992**, *31*, 1655 – 1657.

[8] C. Garau, A. Frontera, D. Quinonero, P. Ballester, A. Costa, P. M. Deya, *Chem. Phys. Chem.* **2003**, *4*, 1344 – 1348.

[9] M. O. Sinnokrot, C. D. Sherrill, *J. Am. Chem. Soc.* **2004**, *126*, 7690 – 7697.

[10] S. Tsuzuki, T. Uchimaru, M. Mikami, *J. Phys. Chem. A* **2006**, *110*, 2027 – 2033.

# Пример 3



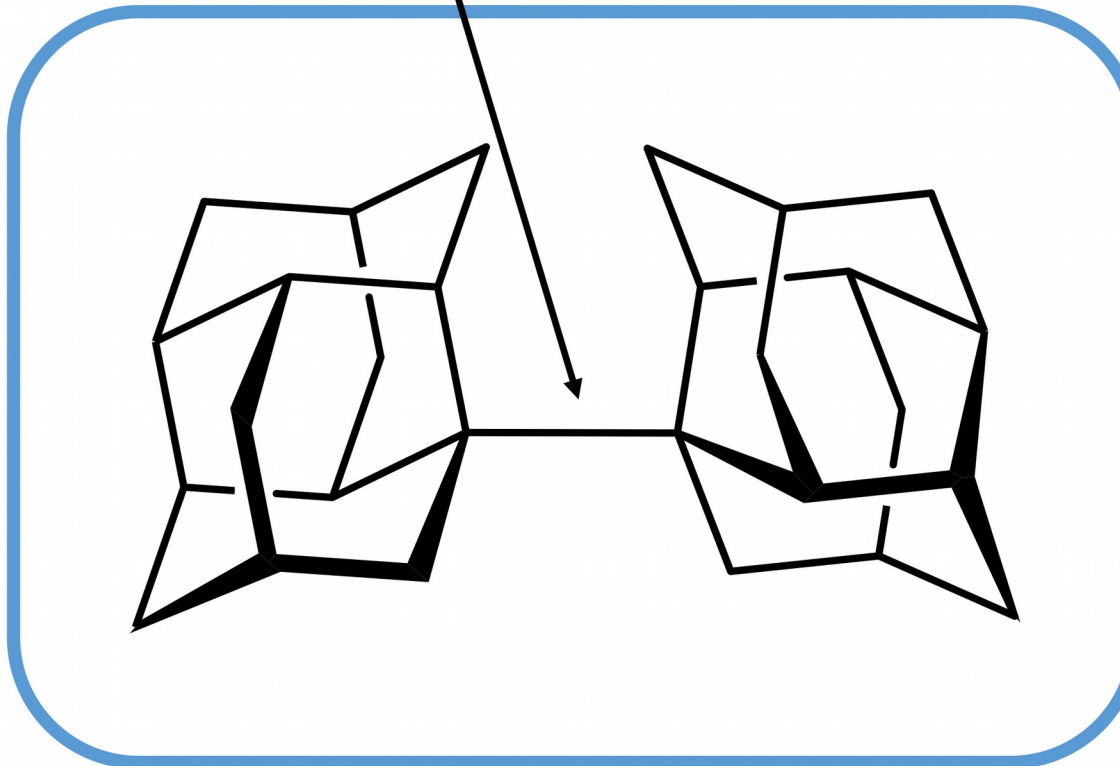
# Димеры диамантила и оксадиамантила



# Димер диамантила

XRD:  $1.647(2) \text{ \AA}^{[3]}$   $\leftrightarrow$  propane:  $1.521(1) \text{ \AA}^{[4]}$

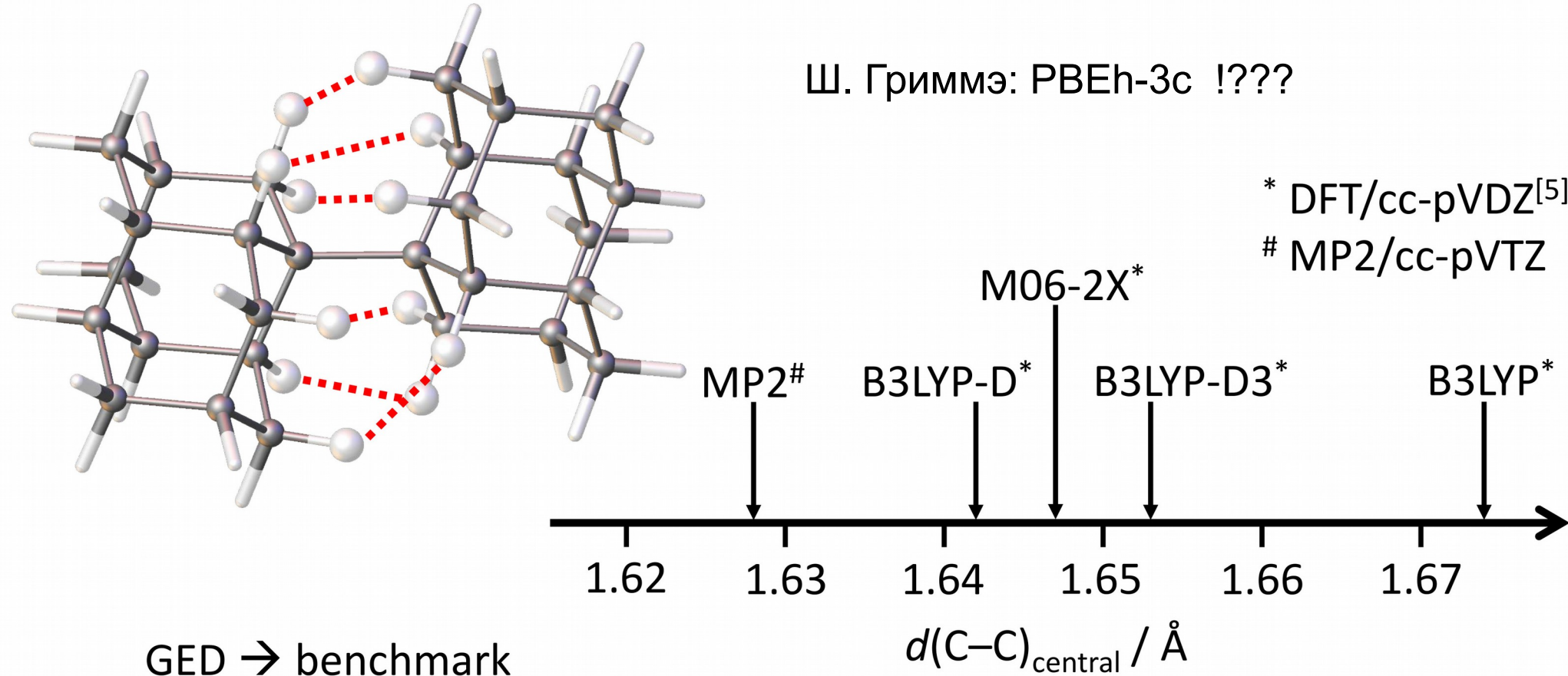
stable up to  
 $350^\circ\text{C}$



[3] P. R. Schreiner, L. V. Chernish, P. A. Gunchenko, E. Yu. Tikhonchuk, H. Hausmann, M. Serafin, S. Schlecht, J. E. P. Dahl, R. M. K. Carlson, A. A. Fokin, *Nature* **2011**, *477*, 308 – 311.

[4] R. Boese, H.-C. Weiss, D. Bläser, *Angew. Chem.* **1999**, *38*, 988 – 992.

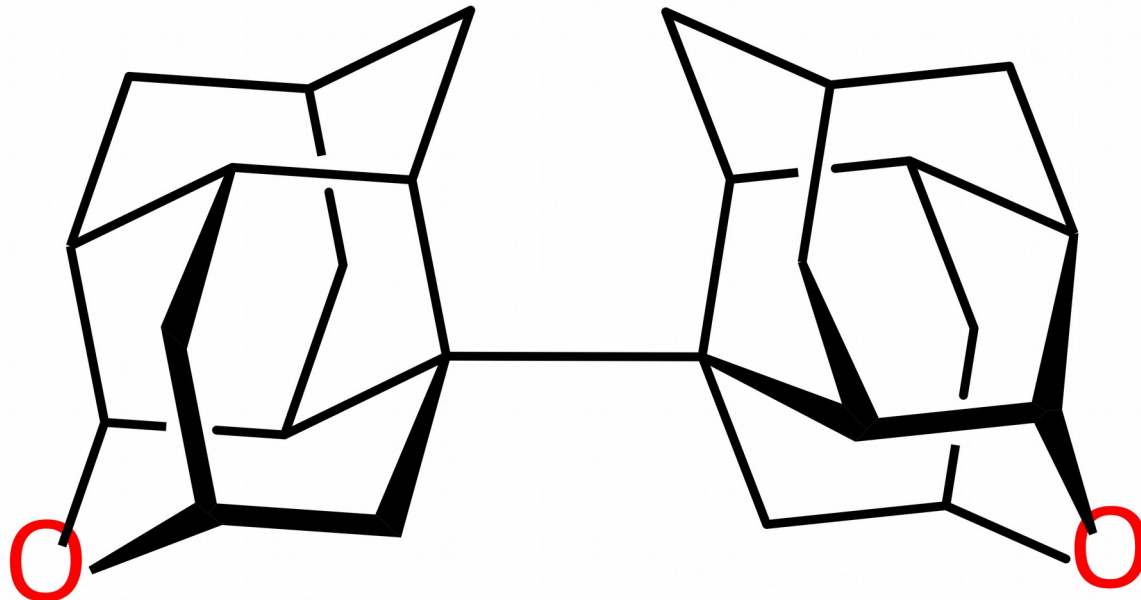
# KX расчеты



[5] A. A. Fokin, L. V. Chernish, P. A. Gunchenko, E. Yu. Tikhonchuk, H. Hausmann, M. Serafin, J. E. P. Dahl, R. M. K. Carlson, P. R. Schreiner, *J. Am. Chem. Soc.* **2012**, *134*, 13641 – 13650.

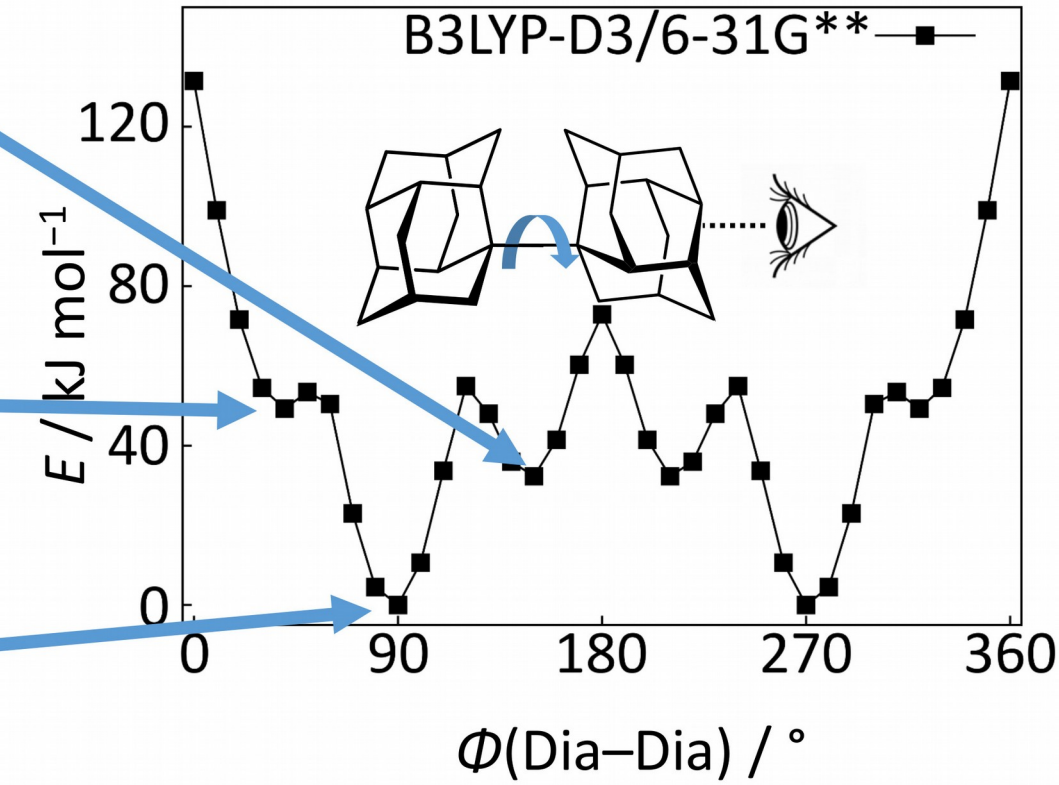
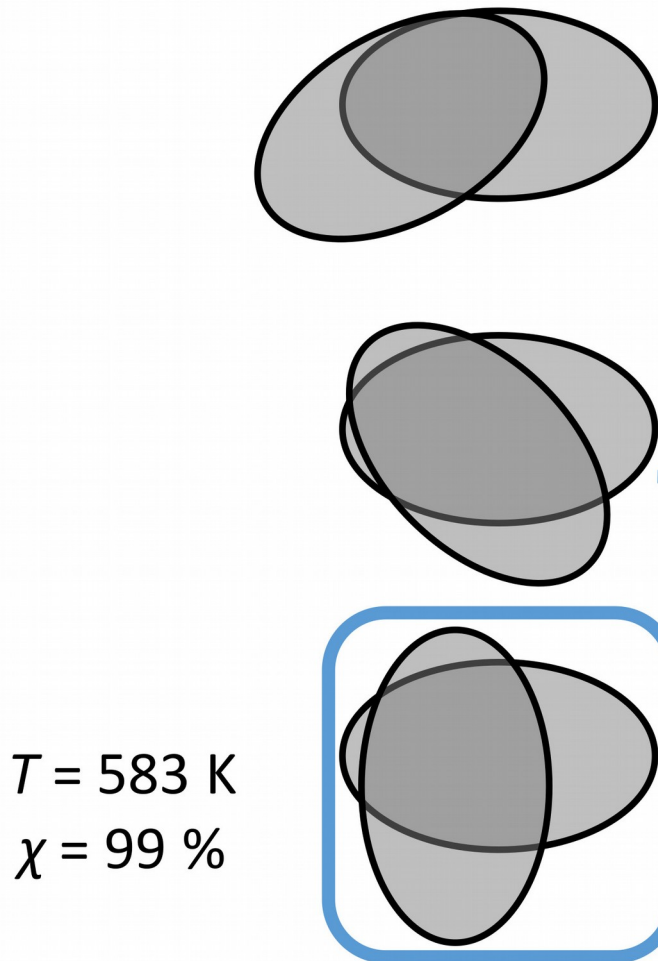
# Новое вещество

6,6'-бис-(3-оксациамантан)

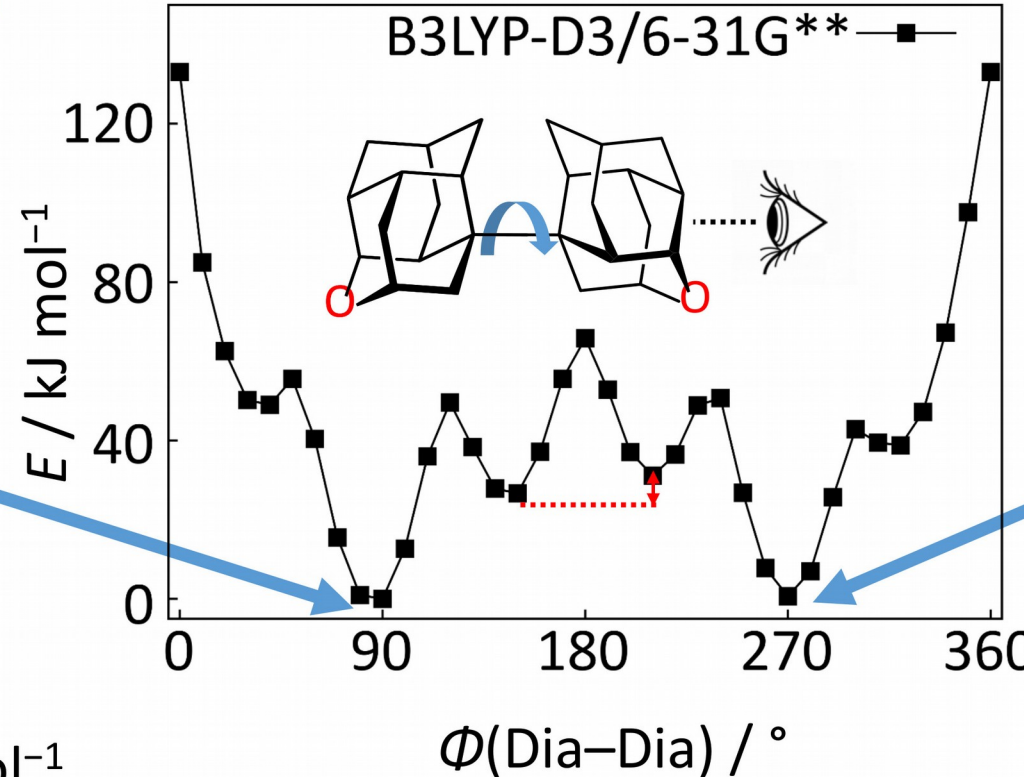


+ Возможность снять МВ спектры

# Потенциал 1



# Потенциал 2



*syn*

*anti*

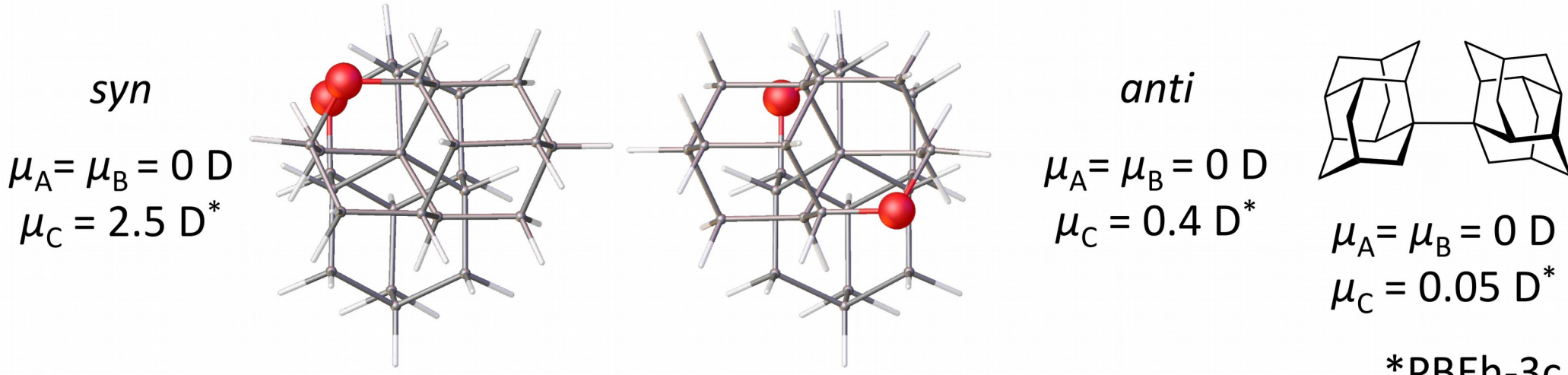
$$\Delta E_{\text{syn-anti}} = 1.2 \text{ kJ mol}^{-1}$$

→ 2 conformer model

- $d(\text{C–O})$
- $\Phi_2(\text{Dia–Dia})$
- $\chi_{\text{syn:anti}}$

additional parameters:

# Микроволновая спектроскопия

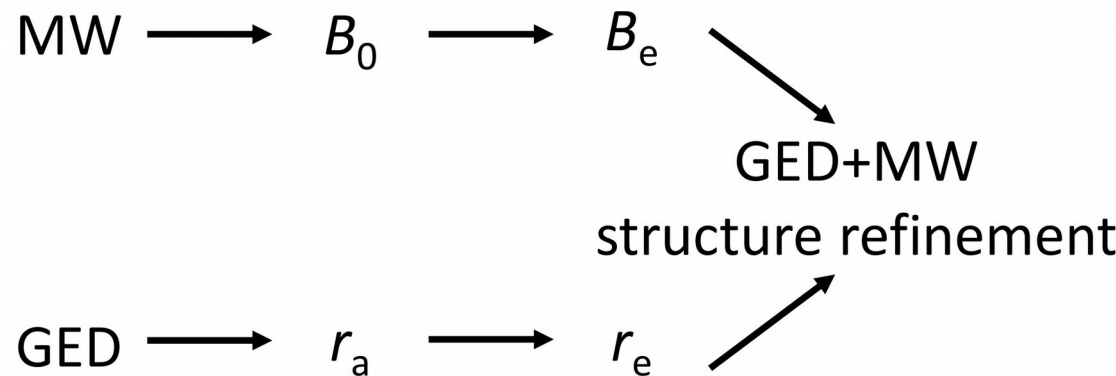


rotational constants

$$A = 396.3518(1) \text{ MHz}$$

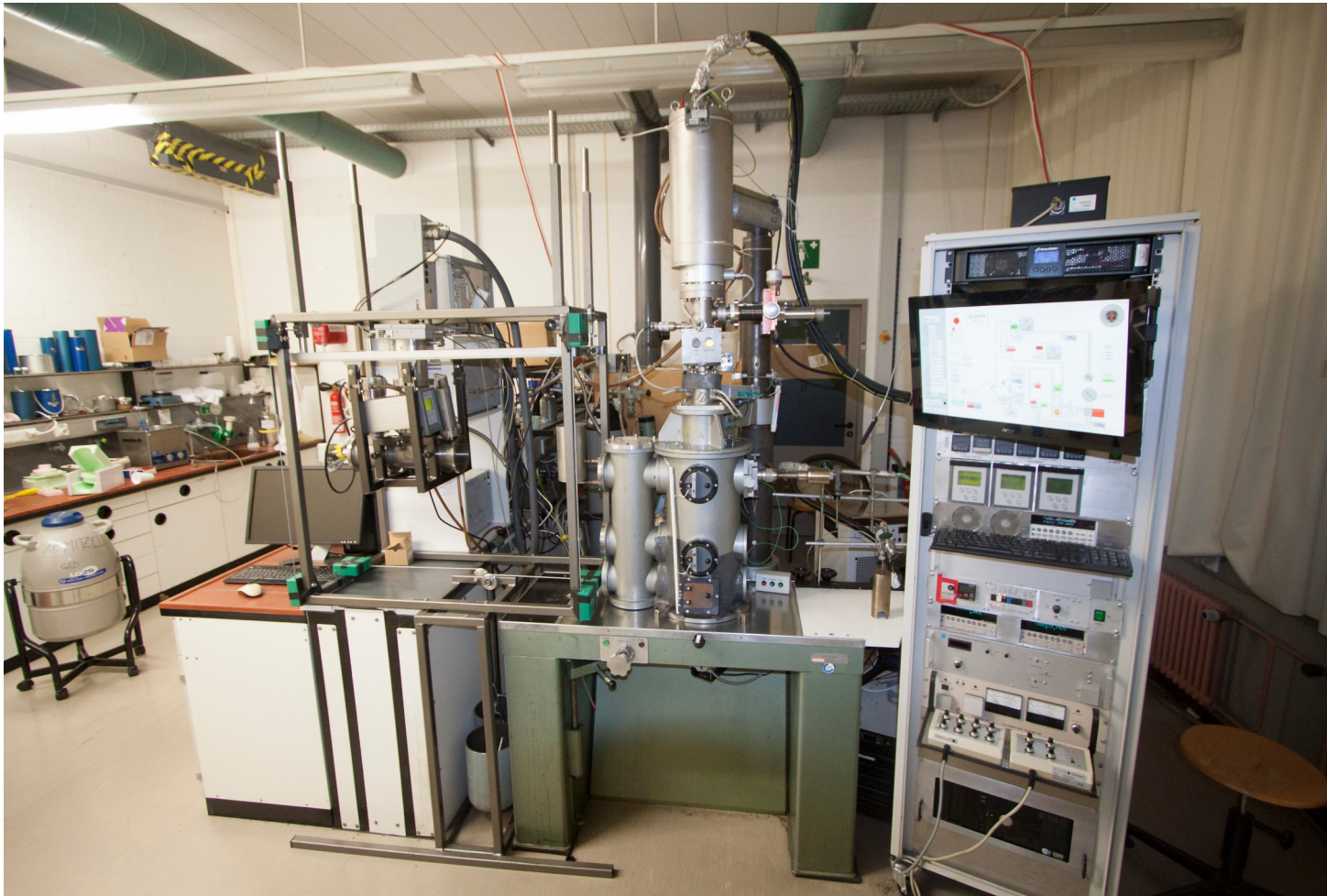
$$B = 158.91216(8) \text{ MHz}$$

$$C = 158.83150(8) \text{ MHz}$$

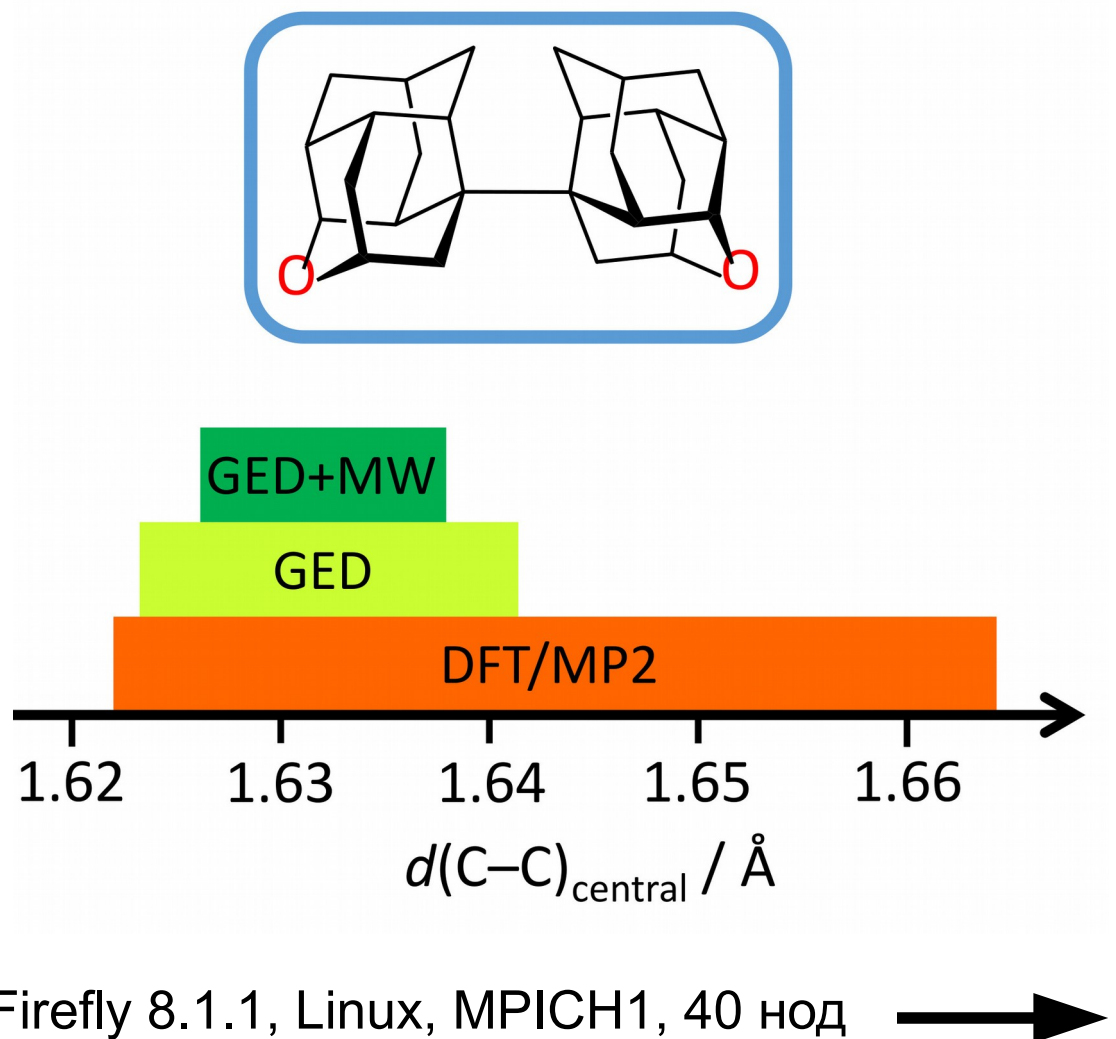


\*PBEh-3c

# Газовая электронография в Билефельде



# Результаты: JACS, 56 (2017) 9619



Метод	Окса-димер	Димер
XRD	1.643(1)	1.647(4)
GED	1.632(9)	<b>1.630(5)</b>
GED+MW	<b>1.632(5)</b>	-
B3LYP/cc-pVTZ	1.662	1.674
TPSS/cc-pVTZ	1.658	1.668
HF/cc-pVTZ	1.652	1.664
B97-D3/cc-pVTZ	1.651	1.662
B3PW91/cc-pVTZ	1.646	1.657
TPSS-D3/cc-pVTZ	1.642	1.652
B3LYP-D3/cc-pVTZ	1.642	1.653
$\omega$ B97XD/cc-pVTZ	1.638	1.648
PBE0/cc-pVTZ	1.637	1.648
M06-2X/cc-pVTZ	1.636	1.647
PBEh-3c	<b>1.632</b>	1.642
SCS(1.2;2/3)-MP2/def2-QZVP	1.629	1.640
PBE0-D3/cc-pVTZ	1.628	1.638
B3PW91-D3/cc-pVTZ	1.627	1.636
PW6B95-D3/def2-QZVP	1.626	1.636
ae-MP2/cc-pwCVTZ	1.622	<b>1.633</b>

Firefly 8.1.1, Linux, MPICH1, 40 нод

Спасибо\* за внимание!

\* Dr. Sebastian Blomeyer за картинки и слайды.